

# CAMINHOS MÍNIMOS

MC558 - Projeto e Análise de Algoritmos II

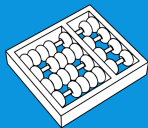
Santiago Valdés Ravelo  
<https://ic.unicamp.br/~santiago/ravelo@unicamp.br>

01/24

7



UNICAMP



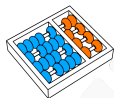


*"Sometimes the most productive thing you can do is relax."*

Mark Black

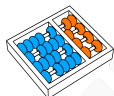


# AULA ANTERIOR



## Representando caminhos mínimos

A saída é similar à da busca em largura a partir de **s**:



## Representando caminhos mínimos

A saída é similar à da busca em largura a partir de **s**:

- ▶ Para cada  $v \in V[G]$ , associamos um **PREDECESSOR**  $\pi[v]$ .



## Representando caminhos mínimos

A saída é similar à da busca em largura a partir de **s**:

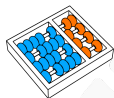
- ▶ Para cada  $v \in V[G]$ , associamos um **PREDECESSOR**  $\pi[v]$ .
- ▶ O vetor  $\pi$  induz uma **ÁRVORE DE CAMINHOS MÍNIMOS** com raiz em **s**.



## Representando caminhos mínimos

A saída é similar à da busca em largura a partir de  $s$ :

- ▶ Para cada  $v \in V[G]$ , associamos um **PREDECESSOR**  $\pi[v]$ .
- ▶ O vetor  $\pi$  induz uma **ÁRVORE DE CAMINHOS MÍNIMOS** com raiz em  $s$ .
- ▶ Um caminho de  $s$  a  $v$  na árvore é um caminho mínimo de  $s$  a  $v$  no grafo  $G$ .



## Inicialização

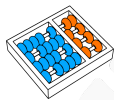
---

**Algoritmo 1:** INITIALIZE-SINGLE-SOURCE( $G, s$ )

---

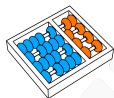
- 1 **para cada**  $v \in V[G]$
  - 2      $d[v] \leftarrow \infty$
  - 3      $\pi[v] \leftarrow \text{NIL}$
  - 4  $d[s] \leftarrow 0$
-





## Relaxação

Tenta melhorar a estimativa  $d[v]$  examinando  $(u,v)$ .



## Relaxação

Tenta melhorar a estimativa  $d[v]$  examinando  $(u,v)$ .



RELAX



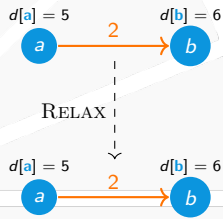
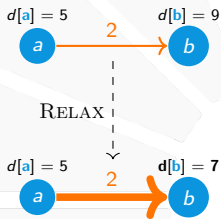
RELAX





## Relaxação

Tenta melhorar a estimativa  $d[v]$  examinando  $(u,v)$ .

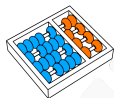



---

**Algoritmo 4:** RELAX( $u, v, w$ )

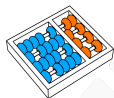
---

- 1 se  $d[v] > d[u] + w(u, v)$
  - 2      $d[v] \leftarrow d[u] + w(u, v)$
  - 3      $\pi[v] \leftarrow u$
-



## Algoritmos baseados em relaxação

Características:



## Algoritmos baseados em relaxação

Características:

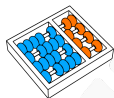
1. Inicializam  $d$  e  $\pi$  com uma sub-rotina INITIALIZE-SINGLE-SOURCE.



## Algoritmos baseados em relaxação

Características:

1. Inicializam  $d$  e  $\pi$  com uma sub-rotina INITIALIZE-SINGLE-SOURCE.
2. Alteram  $d$  e  $\pi$  apenas com uma sub-rotina RELAX.

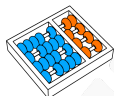


## Algoritmos baseados em relaxação

Características:

1. Inicializam  $d$  e  $\pi$  com uma sub-rotina INITIALIZE-SINGLE-SOURCE.
2. Alteram  $d$  e  $\pi$  apenas com uma sub-rotina RELAX.

Esses algoritmos mantêm algumas invariantes:



## Algoritmos baseados em relaxação

Características:

1. Inicializam  $d$  e  $\pi$  com uma sub-rotina INITIALIZE-SINGLE-SOURCE.
2. Alteram  $d$  e  $\pi$  apenas com uma sub-rotina RELAX.

Esses algoritmos mantêm algumas invariantes:

- ▶ Existe um caminho de  $s$  a  $v$  com peso  $d[v]$ .





## Algoritmos baseados em relaxação

Características:

1. Inicializam  $d$  e  $\pi$  com uma sub-rotina INITIALIZE-SINGLE-SOURCE.
2. Alteram  $d$  e  $\pi$  apenas com uma sub-rotina RELAX.

Esses algoritmos mantêm algumas invariantes:

- ▶ Existe um caminho de  $s$  a  $v$  com peso  $d[v]$ .
- ▶ Esse caminho pode ser recuperado por meio  $\pi$ .



## Algoritmos baseados em relaxação

Características:

1. Inicializam  $d$  e  $\pi$  com uma sub-rotina INITIALIZE-SINGLE-SOURCE.
2. Alteram  $d$  e  $\pi$  apenas com uma sub-rotina RELAX.

Esses algoritmos mantêm algumas invariantes:

- ▶ Existe um caminho de  $s$  a  $v$  com peso  $d[v]$ .
- ▶ Esse caminho pode ser recuperado por meio  $\pi$ .
- ▶ Assim,  $d[v]$  é sempre **MAIOR OU IGUAL** a  $\text{dist}(s,v)$ .



## Algoritmos baseados em relaxação

Características:

1. Inicializam  $d$  e  $\pi$  com uma sub-rotina INITIALIZE-SINGLE-SOURCE.
2. Alteram  $d$  e  $\pi$  apenas com uma sub-rotina RELAX.

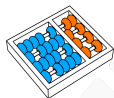
Esses algoritmos mantêm algumas invariantes:

- ▶ Existe um caminho de  $s$  a  $v$  com peso  $d[v]$ .
- ▶ Esse caminho pode ser recuperado por meio  $\pi$ .
- ▶ Assim,  $d[v]$  é sempre **MAIOR OU IGUAL** a  $\text{dist}(s,v)$ .
- ▶ Queremos que no final valha  $d[v] = \text{dist}(s,v)$ .



## Propriedade de algoritmos baseados em relaxação

- ▶ **Limite superior:** Vale  $d[v] \geq \text{dist}(s,v)$  e, tão logo  $d[v]$  alcança  $\text{dist}(s,v)$ , nunca mais muda.



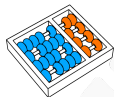
## Propriedade de algoritmos baseados em relaxação

- ▶ **Limite superior:** Vale  $d[v] \geq \text{dist}(s,v)$  e, tão logo  $d[v]$  alcança  $\text{dist}(s,v)$ , nunca mais muda.
- ▶ **Inexistência de caminho:** Se não existe caminho de  $s$  a  $v$ , então  $d[v] = \infty$ .



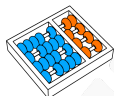
## Propriedade de algoritmos baseados em relaxação

- ▶ **Limite superior:** Vale  $d[v] \geq \text{dist}(s,v)$  e, tão logo  $d[v]$  alcança  $\text{dist}(s,v)$ , nunca mais muda.
- ▶ **Inexistência de caminho:** Se não existe caminho de  $s$  a  $v$ , então  $d[v] = \infty$ .
- ▶ **Subgrafo de predecessores:** Se  $d[v] < \infty$ , então o subgrafo dos predecessores induzido por  $\pi$  é um caminho de peso  $d[v]$ .



## Propriedade de algoritmos baseados em relaxação

- ▶ **Limite superior:** Vale  $d[v] \geq \text{dist}(s,v)$  e, tão logo  $d[v]$  alcança  $\text{dist}(s,v)$ , nunca mais muda.
- ▶ **Inexistência de caminho:** Se não existe caminho de  $s$  a  $v$ , então  $d[v] = \infty$ .
- ▶ **Subgrafo de predecessores:** Se  $d[v] < \infty$ , então o subgrafo dos predecessores induzido por  $\pi$  é um caminho de peso  $d[v]$ .
- ▶ **Convergência:** Se  $p$  é um caminho mínimo de  $s$  até  $v$  terminando com a aresta  $(u,v)$  e  $d[u] = \text{dist}(s,u)$ , então ao relaxar  $(u,v)$ ,  $d[v] = \text{dist}(s,v)$ , que nunca mais muda.



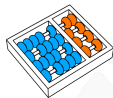
## Propriedade de algoritmos baseados em relaxação

- ▶ **Limite superior:** Vale  $d[v] \geq \text{dist}(s,v)$  e, tão logo  $d[v]$  alcança  $\text{dist}(s,v)$ , nunca mais muda.
- ▶ **Inexistência de caminho:** Se não existe caminho de  $s$  a  $v$ , então  $d[v] = \infty$ .
- ▶ **Subgrafo de predecessores:** Se  $d[v] < \infty$ , então o subgrafo dos predecessores induzido por  $\pi$  é um caminho de peso  $d[v]$ .
- ▶ **Convergência:** Se  $p$  é um caminho mínimo de  $s$  até  $v$  terminando com a aresta  $(u,v)$  e  $d[u] = \text{dist}(s,u)$ , então ao relaxar  $(u,v)$ ,  $d[v] = \text{dist}(s,v)$ , que nunca mais muda.
- ▶ **Relaxamento de caminho:** Se  $p = (v_0, v_1, \dots, v_k)$  é um caminho mínimo de  $s = v_0$  a  $v_k$  e relaxamos as arestas de  $p$  na ordem  $(v_0, v_1), (v_1, v_2), \dots, (v_{k-1}, v_k)$ , então  $d[v_k] = \text{dist}(s, v_k)$ .  
A propriedade vale mesmo se tivermos realizado quaisquer outras relaxações durante a execução.





# ALGORITMO DE BELLMAN-FORD



## Arestas vs ciclos de peso negativo

- ▶ O algoritmo de Dijkstra resolve o Problema dos Caminhos Mínimos quando  $(G, w)$  **NÃO TEM ARESTAS DE PESO NEGATIVO.**



## Arestas vs ciclos de peso negativo

- ▶ O algoritmo de Dijkstra resolve o Problema dos Caminhos Mínimos quando  $(G, w)$  **NÃO TEM ARESTAS DE PESO NEGATIVO.**
- ▶ Quando  $(G, w)$  possui arestas negativas, o algoritmo de Dijkstra não funciona.



## Arestas vs ciclos de peso negativo

- ▶ O algoritmo de Dijkstra resolve o Problema dos Caminhos Mínimos quando  $(G, w)$  **NÃO TEM ARESTAS DE PESO NEGATIVO**.
- ▶ Quando  $(G, w)$  possui arestas negativas, o algoritmo de Dijkstra não funciona.
- ▶ Uma das dificuldades com arestas negativas é a possível existência de **CICLOS DE PESO NEGATIVO** ou simplesmente ciclos negativos.



## Ciclos negativos — uma dificuldade

- ▶ O Problema dos Caminhos Mínimos para instâncias com ciclos negativos é NP-**DIFÍCIL**.



## Ciclos negativos — uma dificuldade

- ▶ O Problema dos Caminhos Mínimos para instâncias com ciclos negativos é NP-**DIFÍCIL**.
- ▶ Acreditamos que **NÃO** existem algoritmos eficientes para resolver problemas NP-difíceis.



## Ciclos negativos — uma dificuldade

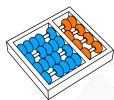
- ▶ O Problema dos Caminhos Mínimos para instâncias com ciclos negativos é **NP-DIFÍCIL**.
- ▶ Acreditamos que **NÃO** existem algoritmos eficientes para resolver problemas NP-difíceis.
- ▶ Assim, vamos nos restringir ao Problema de Caminhos Mínimos **SEM CICLOS NEGATIVOS**.



## Ciclos negativos — uma dificuldade

- ▶ O Problema dos Caminhos Mínimos para instâncias com ciclos negativos é **NP-DIFÍCIL**.
  - ▶ Acreditamos que **NÃO** existem algoritmos eficientes para resolver problemas NP-difíceis.
  - ▶ Assim, vamos nos restringir ao Problema de Caminhos Mínimos **SEM CICLOS NEGATIVOS**.
- ▶ Um algoritmo que resolve o problema restrito é o algoritmo de Bellman-Ford, que também é baseado em relaxação.





## Definição do problema

### Problema

**Entrada:** Um grafo direcionado  $G = (V, E)$ , uma função de peso  $w$  nas arestas e um vértice origem  $s$ .

**Saída:** FALSE, se existe um ciclo negativo atingível a partir de  $s$ . Caso contrário, além de TRUE, também devolve um vetor  $d$  com  $d[v] = \text{dist}(s, v)$  para  $v \in V$  e um vetor  $\pi$  definindo uma **ÁRVORE DE CAMINHOS MÍNIMOS**.



## Ideia do algoritmo de Bellman-Ford

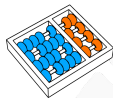
**Relaxamento de caminho:** Para **QUALQUER** caminho mínimo  $(v_0, v_1, \dots, v_k)$ , queremos relaxar  $(v_0, v_1)$ ,  $(v_1, v_2)$ ,  $\dots$ ,  $(v_{k-1}, v_k)$  em ordem.



## Ideia do algoritmo de Bellman-Ford

**Relaxamento de caminho:** Para **QUALQUER** caminho mínimo  $(v_0, v_1, \dots, v_k)$ , queremos relaxar  $(v_0, v_1)$ ,  $(v_1, v_2)$ ,  $\dots$ ,  $(v_{k-1}, v_k)$  em ordem.

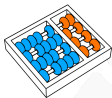
1. Executamos RELAX para todas as arestas:



## Ideia do algoritmo de Bellman-Ford

**Relaxamento de caminho:** Para **QUALQUER** caminho mínimo  $(v_0, v_1, \dots, v_k)$ , queremos relaxar  $(v_0, v_1)$ ,  $(v_1, v_2)$ ,  $\dots$ ,  $(v_{k-1}, v_k)$  em ordem.

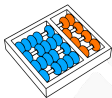
1. Executamos RELAX para todas as arestas:



## Ideia do algoritmo de Bellman-Ford

**Relaxamento de caminho:** Para **QUALQUER** caminho mínimo  $(v_0, v_1, \dots, v_k)$ , queremos relaxar  $(v_0, v_1)$ ,  $(v_1, v_2)$ ,  $\dots$ ,  $(v_{k-1}, v_k)$  em ordem.

1. Executamos RELAX para todas as arestas:  
 $\Rightarrow (v_0, v_1)$  relaxada.
2. Executamos novamente RELAX para todas as arestas:



## Ideia do algoritmo de Bellman-Ford

**Relaxamento de caminho:** Para **QUALQUER** caminho mínimo  $(v_0, v_1, \dots, v_k)$ , queremos relaxar  $(v_0, v_1)$ ,  $(v_1, v_2)$ ,  $\dots$ ,  $(v_{k-1}, v_k)$  em ordem.

1. Executamos RELAX para todas as arestas:  
 $\Rightarrow (v_0, v_1)$  relaxada.
2. Executamos novamente RELAX para todas as arestas:



## Ideia do algoritmo de Bellman-Ford

**Relaxamento de caminho:** Para **QUALQUER** caminho mínimo  $(v_0, v_1, \dots, v_k)$ , queremos relaxar  $(v_0, v_1)$ ,  $(v_1, v_2)$ ,  $\dots$ ,  $(v_{k-1}, v_k)$  em ordem.

1. Executamos RELAX para todas as arestas:  
 $\Rightarrow (v_0, v_1)$  relaxada.
2. Executamos novamente RELAX para todas as arestas:  
 $\Rightarrow (v_0, v_1)$ ,  $(v_1, v_2)$  relaxadas em ordem.
3. Executamos novamente RELAX para todas as arestas:



## Ideia do algoritmo de Bellman-Ford

**Relaxamento de caminho:** Para **QUALQUER** caminho mínimo  $(v_0, v_1, \dots, v_k)$ , queremos relaxar  $(v_0, v_1)$ ,  $(v_1, v_2)$ ,  $\dots$ ,  $(v_{k-1}, v_k)$  em ordem.

1. Executamos RELAX para todas as arestas:  
 $\Rightarrow (v_0, v_1)$  relaxada.
2. Executamos novamente RELAX para todas as arestas:  
 $\Rightarrow (v_0, v_1)$ ,  $(v_1, v_2)$  relaxadas em ordem.
3. Executamos novamente RELAX para todas as arestas:





## Ideia do algoritmo de Bellman-Ford

**Relaxamento de caminho:** Para **QUALQUER** caminho mínimo  $(v_0, v_1, \dots, v_k)$ , queremos relaxar  $(v_0, v_1)$ ,  $(v_1, v_2)$ ,  $\dots$ ,  $(v_{k-1}, v_k)$  em ordem.

1. Executamos RELAX para todas as arestas:  
 $\Rightarrow (v_0, v_1)$  relaxada.
2. Executamos novamente RELAX para todas as arestas:  
 $\Rightarrow (v_0, v_1)$ ,  $(v_1, v_2)$  relaxadas em ordem.
3. Executamos novamente RELAX para todas as arestas:  
 $\Rightarrow (v_0, v_1)$ ,  $(v_1, v_2)$ ,  $(v_2, v_3)$  relaxadas em ordem.
4. Repetimos esse passo até  $|V| - 1$  vezes.



## Ideia do algoritmo de Bellman-Ford

**Relaxamento de caminho:** Para **QUALQUER** caminho mínimo  $(v_0, v_1, \dots, v_k)$ , queremos relaxar  $(v_0, v_1)$ ,  $(v_1, v_2)$ ,  $\dots$ ,  $(v_{k-1}, v_k)$  em ordem.

1. Executamos RELAX para todas as arestas:  
 $\Rightarrow (v_0, v_1)$  relaxada.
2. Executamos novamente RELAX para todas as arestas:  
 $\Rightarrow (v_0, v_1)$ ,  $(v_1, v_2)$  relaxadas em ordem.
3. Executamos novamente RELAX para todas as arestas:  
 $\Rightarrow (v_0, v_1)$ ,  $(v_1, v_2)$ ,  $(v_2, v_3)$  relaxadas em ordem.
4. Repetimos esse passo até  $|V| - 1$  vezes.



## Ideia do algoritmo de Bellman-Ford

**Relaxamento de caminho:** Para **QUALQUER** caminho mínimo  $(v_0, v_1, \dots, v_k)$ , queremos relaxar  $(v_0, v_1)$ ,  $(v_1, v_2)$ ,  $\dots$ ,  $(v_{k-1}, v_k)$  em ordem.

1. Executamos RELAX para todas as arestas:  
 $\Rightarrow (v_0, v_1)$  relaxada.
2. Executamos novamente RELAX para todas as arestas:  
 $\Rightarrow (v_0, v_1)$ ,  $(v_1, v_2)$  relaxadas em ordem.
3. Executamos novamente RELAX para todas as arestas:  
 $\Rightarrow (v_0, v_1)$ ,  $(v_1, v_2)$ ,  $(v_2, v_3)$  relaxadas em ordem.
4. Repetimos esse passo até  $|V| - 1$  vezes. Por quê?

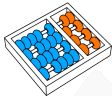


## Ideia do algoritmo de Bellman-Ford

**Relaxamento de caminho:** Para **QUALQUER** caminho mínimo  $(v_0, v_1, \dots, v_k)$ , queremos relaxar  $(v_0, v_1)$ ,  $(v_1, v_2)$ ,  $\dots$ ,  $(v_{k-1}, v_k)$  em ordem.

1. Executamos RELAX para todas as arestas:  
 $\Rightarrow (v_0, v_1)$  relaxada.
2. Executamos novamente RELAX para todas as arestas:  
 $\Rightarrow (v_0, v_1)$ ,  $(v_1, v_2)$  relaxadas em ordem.
3. Executamos novamente RELAX para todas as arestas:  
 $\Rightarrow (v_0, v_1)$ ,  $(v_1, v_2)$ ,  $(v_2, v_3)$  relaxadas em ordem.
4. Repetimos esse passo até  $|V| - 1$  vezes. Por quê?  
 $\Rightarrow (v_0, v_1)$ ,  $(v_1, v_2)$ ,  $\dots$ ,  $(v_{k-1}, v_k)$  relaxadas em ordem.

Podemos verificar se o grafo contém **CICLOS NEGATIVOS** executando mais uma vez:



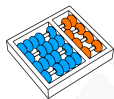
## Ideia do algoritmo de Bellman-Ford

**Relaxamento de caminho:** Para **QUALQUER** caminho mínimo  $(v_0, v_1, \dots, v_k)$ , queremos relaxar  $(v_0, v_1)$ ,  $(v_1, v_2)$ ,  $\dots$ ,  $(v_{k-1}, v_k)$  em ordem.

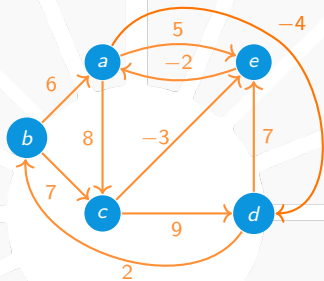
1. Executamos RELAX para todas as arestas:  
 $\Rightarrow (v_0, v_1)$  relaxada.
2. Executamos novamente RELAX para todas as arestas:  
 $\Rightarrow (v_0, v_1)$ ,  $(v_1, v_2)$  relaxadas em ordem.
3. Executamos novamente RELAX para todas as arestas:  
 $\Rightarrow (v_0, v_1)$ ,  $(v_1, v_2)$ ,  $(v_2, v_3)$  relaxadas em ordem.
4. Repetimos esse passo até  $|V| - 1$  vezes. Por quê?  
 $\Rightarrow (v_0, v_1)$ ,  $(v_1, v_2)$ ,  $\dots$ ,  $(v_{k-1}, v_k)$  relaxadas em ordem.

Podemos verificar se o grafo contém **CICLOS NEGATIVOS** executando mais uma vez:

- ▶ Se algum valor  $d[v]$  diminuir, então há ciclo negativo.

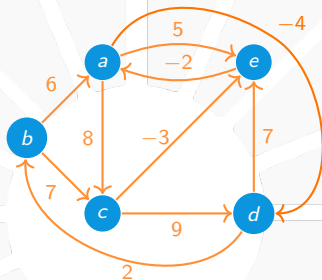


## Exemplo



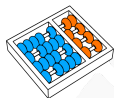


## Exemplo

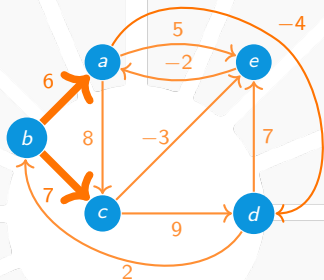


	a	b	c	d	e
d	$\infty$	0	$\infty$	$\infty$	$\infty$

Ordem: (a,c),(a,d),(a,e),(c,d),(c,e),(d,b),(d,e),(e,a),(b,a),(b,c).



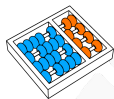
# Exemplo



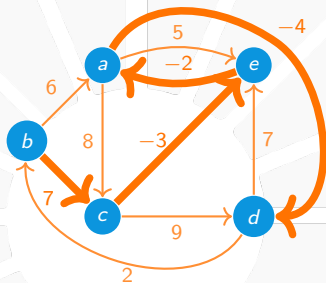
	a	b	c	d	e
d	6	0	7	$\infty$	$\infty$

Ordem: (a,c),(a,d),(a,e),(c,d),(c,e),(d,b),(d,e),(e,a),(b,a),(b,c).



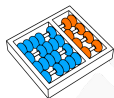


# Exemplo

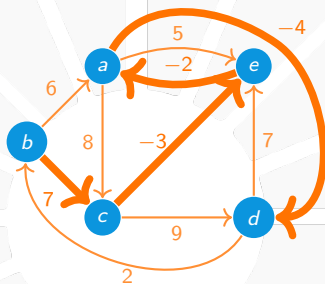


	a	b	c	d	e
d	2	0	7	2	4

Ordem: (a,c),(a,d),(a,e),(c,d),(c,e),(d,b),(d,e),(e,a),(b,a),(b,c).

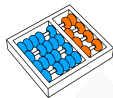


## Exemplo



	a	b	c	d	e
d	2	0	7	-2	4

Ordem: (a,c),(a,d),(a,e),(c,d),(c,e),(d,b),(d,e),(e,a),(b,a),(b,c).



## O algoritmo de Bellman-Ford

---

### Algoritmo 5: BELLMAN-FORD( $G, w, s$ )

---

- 1 INITIALIZE-SINGLE-SOURCE( $G, s$ )
  - 2 **para**  $i \leftarrow 1$  **até**  $|V[G]| - 1$
  - 3     **para cada**  $(u, v) \in E[G]$
  - 4         RELAX( $u, v, w$ )
  - 5 **para cada**  $(u, v) \in E[G]$
  - 6     **se**  $d[v] > d[u] + w(u, v)$
  - 7         **devolva** FALSE
  - 8 **devolva** TRUE,  $d, \pi$
-



## O algoritmo de Bellman-Ford

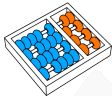
---

### Algoritmo 6: BELLMAN-FORD( $G, w, s$ )

---

- 1 INITIALIZE-SINGLE-SOURCE( $G, s$ )
  - 2 **para**  $i \leftarrow 1$  **até**  $|V[G]| - 1$
  - 3     **para cada**  $(u, v) \in E[G]$
  - 4         RELAX( $u, v, w$ )
  - 5 **para cada**  $(u, v) \in E[G]$
  - 6     **se**  $d[v] > d[u] + w(u, v)$
  - 7         **devolva** FALSE
  - 8 **devolva** TRUE,  $d, \pi$
- 

Complexidade de tempo:  $O(VE)$

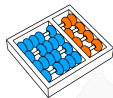


## Correção do algoritmo Bellman-Ford

### Teorema

BELLMAN-FORD *devolve*:

- ▶ FALSE, se existe um ciclo negativo atingível a partir de  $s$ .
- ▶ TRUE, caso contrário; neste caso devolve também:
  - ▶ Um vetor  $d$  com  $d[v] = \text{dist}(s, v)$  para  $v \in V$ .
  - ▶ Um vetor  $\pi$  definindo uma **ÁRVORE DE CAMINHOS MÍNIMOS**.



## Correção do algoritmo Bellman-Ford

Primeiro, suponha que não há ciclos negativos atingíveis por  $s$ .



## Correção do algoritmo Bellman-Ford

Primeiro, suponha que não há ciclos negativos atingíveis por  $s$ .

Considere  $v \in V[G]$  e os valores de  $d$  e  $\pi$  após o primeiro laço:



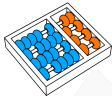
## Correção do algoritmo Bellman-Ford

Primeiro, suponha que não há ciclos negativos atingíveis por  $s$ .

Considere  $v \in V[G]$  e os valores de  $d$  e  $\pi$  após o primeiro laço:

- ▶ Se  $v$  não é atingível,  $d[v] = \infty$  (por **Inexistência de caminho**).



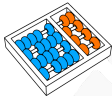


## Correção do algoritmo Bellman-Ford

Primeiro, suponha que não há ciclos negativos atingíveis por  $s$ .

Considere  $v \in V[G]$  e os valores de  $d$  e  $\pi$  após o primeiro laço:

- ▶ Se  $v$  não é atingível,  $d[v] = \infty$  (por **Inexistência de caminho**).
- ▶ Senão, existe caminho mínimo  $(v_0, v_1, \dots, v_k)$  de  $s = v_0$  a  $v = v_k$ .



## Correção do algoritmo Bellman-Ford

Primeiro, suponha que não há ciclos negativos atingíveis por  $s$ .

Considere  $v \in V[G]$  e os valores de  $d$  e  $\pi$  após o primeiro laço:

- ▶ Se  $v$  não é atingível,  $d[v] = \infty$  (por **Inexistência de caminho**).
- ▶ Senão, existe caminho mínimo  $(v_0, v_1, \dots, v_k)$  de  $s = v_0$  a  $v = v_k$ .
- ▶ Como  $k \leq |V| - 1$ , então  $(v_0, v_1)$ ,  $(v_1, v_2)$ ,  $\dots$ ,  $(v_{k-1}, v_k)$  foram relaxadas **NESTA ORDEM**.



## Correção do algoritmo Bellman-Ford

Primeiro, suponha que não há ciclos negativos atingíveis por  $s$ .

Considere  $v \in V[G]$  e os valores de  $d$  e  $\pi$  após o primeiro laço:

- ▶ Se  $v$  não é atingível,  $d[v] = \infty$  (por **Inexistência de caminho**).
- ▶ Senão, existe caminho mínimo  $(v_0, v_1, \dots, v_k)$  de  $s = v_0$  a  $v = v_k$ .
- ▶ Como  $k \leq |V| - 1$ , então  $(v_0, v_1)$ ,  $(v_1, v_2)$ ,  $\dots$ ,  $(v_{k-1}, v_k)$  foram relaxadas **NESTA ORDEM**.
- ▶ Por **Relaxamento de caminho**,  $d[v] = \text{dist}(s, v)$ .



## Correção do algoritmo Bellman-Ford

Primeiro, suponha que não há ciclos negativos atingíveis por  $s$ .

Considere  $v \in V[G]$  e os valores de  $d$  e  $\pi$  após o primeiro laço:

- ▶ Se  $v$  não é atingível,  $d[v] = \infty$  (por **Inexistência de caminho**).
- ▶ Senão, existe caminho mínimo  $(v_0, v_1, \dots, v_k)$  de  $s = v_0$  a  $v = v_k$ .
- ▶ Como  $k \leq |V| - 1$ , então  $(v_0, v_1)$ ,  $(v_1, v_2)$ ,  $\dots$ ,  $(v_{k-1}, v_k)$  foram relaxadas **NESTA ORDEM**.
- ▶ Por **Relaxamento de caminho**,  $d[v] = \text{dist}(s, v)$ .
- ▶ Também, por **Sugrafo de predecessores**:  $\pi$  induz um caminho mínimo de  $s$  a  $v$ .



## Correção do algoritmo Bellman-Ford

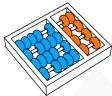
Também temos que mostrar que nesse caso **BELLMAN-FORD** devolve **TRUE**.



## Correção do algoritmo Bellman-Ford

Também temos que mostrar que nesse caso `BELLMAN-FORD` devolve `TRUE`.

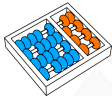
- ▶ Considere  $d$  imediatamente após o primeiro laço.



## Correção do algoritmo Bellman-Ford

Também temos que mostrar que nesse caso `BELLMAN-FORD` devolve `TRUE`.

- ▶ Considere  $d$  imediatamente após o primeiro laço.
- ▶ Nesse instante,  $d[v] = \text{dist}(s, v)$  para todo vértice  $v$ .

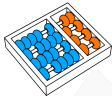


## Correção do algoritmo Bellman-Ford

Também temos que mostrar que nesse caso `BELLMAN-FORD` devolve `TRUE`.

- ▶ Considere  $d$  imediatamente após o primeiro laço.
- ▶ Nesse instante,  $d[v] = \text{dist}(s, v)$  para todo vértice  $v$ .
- ▶ Por **Convergência**, sabemos que  $d$  nunca mais muda.

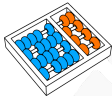




## Correção do algoritmo Bellman-Ford

Também temos que mostrar que nesse caso `BELLMAN-FORD` devolve `TRUE`.

- ▶ Considere  $d$  imediatamente após o primeiro laço.
- ▶ Nesse instante,  $d[v] = \text{dist}(s, v)$  para todo vértice  $v$ .
- ▶ Por **Convergência**, sabemos que  $d$  nunca mais muda.
- ▶ Portanto, o teste da linha 6 falha sempre.



## Correção do algoritmo Bellman-Ford

Também temos que mostrar que nesse caso `BELLMAN-FORD` devolve `TRUE`.

- ▶ Considere  $d$  imediatamente após o primeiro laço.
- ▶ Nesse instante,  $d[v] = \text{dist}(s,v)$  para todo vértice  $v$ .
- ▶ Por **Convergência**, sabemos que  $d$  nunca mais muda.
- ▶ Portanto, o teste da linha 6 falha sempre.
- ▶ Concluindo que o algoritmo devolve `TRUE`.



## Correção do algoritmo Bellman-Ford

Suponha agora que  $(G, w)$  contenha **CICLO NEGATIVO** alcançável por **s**.



## Correção do algoritmo Bellman-Ford

Suponha agora que  $(G, w)$  contenha **CICLO NEGATIVO** alcançável por  $s$ .

Queremos mostrar que o algoritmo devolve FALSE:



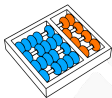
## Correção do algoritmo Bellman-Ford

Suponha agora que  $(G, w)$  contenha **CICLO NEGATIVO** alcançável por  $s$ .

Queremos mostrar que o algoritmo devolve FALSE:

► Seja  $C = (v_0, v_1, \dots, v_k = v_0)$  um ciclo tal que

$$w(C) = \sum_{i=1}^k w(v_{i-1}, v_i) < 0.$$



## Correção do algoritmo Bellman-Ford

Suponha agora que  $(G, w)$  contenha **CICLO NEGATIVO** alcançável por  $s$ .

Queremos mostrar que o algoritmo devolve FALSE:

- ▶ Seja  $C = (v_0, v_1, \dots, v_k = v_0)$  um ciclo tal que

$$w(C) = \sum_{i=1}^k w(v_{i-1}, v_i) < 0.$$

- ▶ Suponha, por contradição que o algoritmo devolve TRUE.



## Correção do algoritmo Bellman-Ford

Suponha agora que  $(G, w)$  contenha **CICLO NEGATIVO** alcançável por  $s$ .

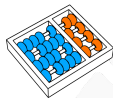
Queremos mostrar que o algoritmo devolve FALSE:

- ▶ Seja  $C = (v_0, v_1, \dots, v_k = v_0)$  um ciclo tal que

$$w(C) = \sum_{i=1}^k w(v_{i-1}, v_i) < 0.$$

- ▶ Suponha, por contradição que o algoritmo devolve TRUE.
- ▶ Como relaxamos cada aresta  $(v_{i-1}, v_i)$ :

$$d[v_i] \leq d[v_{i-1}] + w(v_{i-1}, v_i).$$

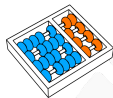


## Correção do algoritmo Bellman-Ford

- ▶ Somando as desigualdades anteriores para cada aresta do ciclo, temos:

$$\begin{aligned}\sum_{i=1}^k d[\mathbf{v}_i] &\leq \sum_{i=1}^k (d[\mathbf{v}_{i-1}] + w(\mathbf{v}_{i-1}, \mathbf{v}_i)) \\ &= \sum_{i=1}^k d[\mathbf{v}_{i-1}] + \sum_{i=1}^k w(\mathbf{v}_{i-1}, \mathbf{v}_i).\end{aligned}$$



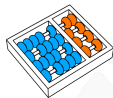


## Correção do algoritmo Bellman-Ford

- ▶ Somando as desigualdades anteriores para cada aresta do ciclo, temos:

$$\begin{aligned}\sum_{i=1}^k d[\mathbf{v}_i] &\leq \sum_{i=1}^k (d[\mathbf{v}_{i-1}] + w(\mathbf{v}_{i-1}, \mathbf{v}_i)) \\ &= \sum_{i=1}^k d[\mathbf{v}_{i-1}] + \sum_{i=1}^k w(\mathbf{v}_{i-1}, \mathbf{v}_i).\end{aligned}$$

- ▶ Como  $\mathbf{v}_0 = \mathbf{v}_k$ , temos que  $\sum_{i=1}^k d[\mathbf{v}_i] = \sum_{i=1}^k d[\mathbf{v}_{i-1}]$ .



## Correção do algoritmo Bellman-Ford

- ▶ Somando as desigualdades anteriores para cada aresta do ciclo, temos:

$$\begin{aligned} \sum_{i=1}^k d[\mathbf{v}_i] &\leq \sum_{i=1}^k (d[\mathbf{v}_{i-1}] + w(\mathbf{v}_{i-1}, \mathbf{v}_i)) \\ &= \sum_{i=1}^k d[\mathbf{v}_{i-1}] + \sum_{i=1}^k w(\mathbf{v}_{i-1}, \mathbf{v}_i). \end{aligned}$$

- ▶ Como  $\mathbf{v}_0 = \mathbf{v}_k$ , temos que  $\sum_{i=1}^k d[\mathbf{v}_i] = \sum_{i=1}^k d[\mathbf{v}_{i-1}]$ .
- ▶ Logo,  $0 \leq \sum_{i=1}^k w(\mathbf{v}_{i-1}, \mathbf{v}_i) = w(C)$ .

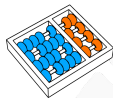


## Correção do algoritmo Bellman-Ford

- ▶ Somando as desigualdades anteriores para cada aresta do ciclo, temos:

$$\begin{aligned} \sum_{i=1}^k d[\mathbf{v}_i] &\leq \sum_{i=1}^k (d[\mathbf{v}_{i-1}] + w(\mathbf{v}_{i-1}, \mathbf{v}_i)) \\ &= \sum_{i=1}^k d[\mathbf{v}_{i-1}] + \sum_{i=1}^k w(\mathbf{v}_{i-1}, \mathbf{v}_i). \end{aligned}$$

- ▶ Como  $\mathbf{v}_0 = \mathbf{v}_k$ , temos que  $\sum_{i=1}^k d[\mathbf{v}_i] = \sum_{i=1}^k d[\mathbf{v}_{i-1}]$ .
- ▶ Logo,  $0 \leq \sum_{i=1}^k w(\mathbf{v}_{i-1}, \mathbf{v}_i) = w(C)$ .
- ▶ Mas isso é uma contradição, pois  $C$  é ciclo negativo.




## Correção do algoritmo Bellman-Ford

- ▶ Somando as desigualdades anteriores para cada aresta do ciclo, temos:

$$\begin{aligned} \sum_{i=1}^k d[\mathbf{v}_i] &\leq \sum_{i=1}^k (d[\mathbf{v}_{i-1}] + w(\mathbf{v}_{i-1}, \mathbf{v}_i)) \\ &= \sum_{i=1}^k d[\mathbf{v}_{i-1}] + \sum_{i=1}^k w(\mathbf{v}_{i-1}, \mathbf{v}_i). \end{aligned}$$

- ▶ Como  $\mathbf{v}_0 = \mathbf{v}_k$ , temos que  $\sum_{i=1}^k d[\mathbf{v}_i] = \sum_{i=1}^k d[\mathbf{v}_{i-1}]$ .
- ▶ Logo,  $0 \leq \sum_{i=1}^k w(\mathbf{v}_{i-1}, \mathbf{v}_i) = w(C)$ .
- ▶ Mas isso é uma contradição, pois  $C$  é ciclo negativo.
- ▶ Concluindo que, nesse caso, o algoritmo devolve FALSE.



# SISTEMAS DE RESTRIÇÕES DE DIFERENÇAS



## Exemplo

Uma aplicação de caminhos mínimos é encontrar  $x_1, x_2, \dots, x_n$  que satisfaçam:

$$x_1 - x_2 \leq 0$$

$$x_1 - x_5 \leq -1$$

$$x_2 - x_5 \leq 1$$

$$x_3 - x_1 \leq 5$$

$$x_4 - x_1 \leq 4$$

$$x_4 - x_3 \leq -1$$

$$x_5 - x_3 \leq -3$$

$$x_5 - x_4 \leq -3$$



## Exemplo

Uma aplicação de caminhos mínimos é encontrar  $x_1, x_2, \dots, x_n$  que satisfaçam:

$$x_1 - x_2 \leq 0$$

$$x_1 - x_5 \leq -1$$

$$x_2 - x_5 \leq 1$$

$$x_3 - x_1 \leq 5$$

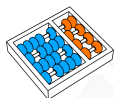
$$x_4 - x_1 \leq 4$$

$$x_4 - x_3 \leq -1$$

$$x_5 - x_3 \leq -3$$

$$x_5 - x_4 \leq -3$$

Onde:



## Exemplo

Uma aplicação de caminhos mínimos é encontrar  $x_1, x_2, \dots, x_n$  que satisfaçam:

$$x_1 - x_2 \leq 0$$

$$x_1 - x_5 \leq -1$$

$$x_2 - x_5 \leq 1$$

$$x_3 - x_1 \leq 5$$

$$x_4 - x_1 \leq 4$$

$$x_4 - x_3 \leq -1$$

$$x_5 - x_3 \leq -3$$

$$x_5 - x_4 \leq -3$$

Onde:

- ▶  $x_i$  representa a hora do evento  $i$





## Exemplo

Uma aplicação de caminhos mínimos é encontrar  $x_1, x_2, \dots, x_n$  que satisfaçam:

$$x_1 - x_2 \leq 0$$

$$x_1 - x_5 \leq -1$$

$$x_2 - x_5 \leq 1$$

$$x_3 - x_1 \leq 5$$

$$x_4 - x_1 \leq 4$$

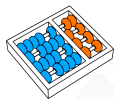
$$x_4 - x_3 \leq -1$$

$$x_5 - x_3 \leq -3$$

$$x_5 - x_4 \leq -3$$

Onde:

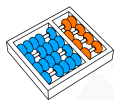
- ▶  $x_i$  representa a hora do evento  $i$
- ▶  $x_j - x_i \leq b_k$  significa que deve haver um intervalo de pelo menos  $b_k$  horas entre eventos  $i$  e  $j$



## Exemplo

Podemos reescrever as restrições de forma matricial:

$$\begin{pmatrix} 1 & -1 & 0 & 0 & 0 \\ 1 & 0 & 0 & 0 & -1 \\ 0 & 1 & 0 & 0 & -1 \\ -1 & 0 & 1 & 0 & 0 \\ -1 & 0 & 0 & 1 & 0 \\ 0 & 0 & -1 & 1 & 0 \\ 0 & 0 & -1 & 0 & 1 \\ 0 & 0 & 0 & -1 & 1 \end{pmatrix} \begin{pmatrix} x_1 \\ x_2 \\ x_3 \\ x_4 \\ x_5 \end{pmatrix} \leq \begin{pmatrix} 0 \\ -1 \\ 1 \\ 5 \\ 4 \\ -1 \\ -3 \\ -3 \end{pmatrix}$$



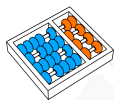
## Exemplo

Podemos reescrever as restrições de forma matricial:

$$\begin{pmatrix} 1 & -1 & 0 & 0 & 0 \\ 1 & 0 & 0 & 0 & -1 \\ 0 & 1 & 0 & 0 & -1 \\ -1 & 0 & 1 & 0 & 0 \\ -1 & 0 & 0 & 1 & 0 \\ 0 & 0 & -1 & 1 & 0 \\ 0 & 0 & -1 & 0 & 1 \\ 0 & 0 & 0 & -1 & 1 \end{pmatrix} \begin{pmatrix} x_1 \\ x_2 \\ x_3 \\ x_4 \\ x_5 \end{pmatrix} \leq \begin{pmatrix} 0 \\ -1 \\ 1 \\ 5 \\ 4 \\ -1 \\ -3 \\ -3 \end{pmatrix}$$

Algumas soluções:

►  $x = (-5, -3, 0, -1, -4),$



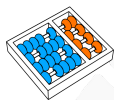
## Exemplo

Podemos reescrever as restrições de forma matricial:

$$\begin{pmatrix} 1 & -1 & 0 & 0 & 0 \\ 1 & 0 & 0 & 0 & -1 \\ 0 & 1 & 0 & 0 & -1 \\ -1 & 0 & 1 & 0 & 0 \\ -1 & 0 & 0 & 1 & 0 \\ 0 & 0 & -1 & 1 & 0 \\ 0 & 0 & -1 & 0 & 1 \\ 0 & 0 & 0 & -1 & 1 \end{pmatrix} \begin{pmatrix} x_1 \\ x_2 \\ x_3 \\ x_4 \\ x_5 \end{pmatrix} \leq \begin{pmatrix} 0 \\ -1 \\ 1 \\ 5 \\ 4 \\ -1 \\ -3 \\ -3 \end{pmatrix}$$

Algumas soluções:

- ▶  $x = (-5, -3, 0, -1, -4)$ ,
- ▶  $x' = (0, 2, 5, 4, 1)$ ,



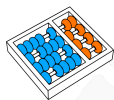
## Exemplo

Podemos reescrever as restrições de forma matricial:

$$\begin{pmatrix} 1 & -1 & 0 & 0 & 0 \\ 1 & 0 & 0 & 0 & -1 \\ 0 & 1 & 0 & 0 & -1 \\ -1 & 0 & 1 & 0 & 0 \\ -1 & 0 & 0 & 1 & 0 \\ 0 & 0 & -1 & 1 & 0 \\ 0 & 0 & -1 & 0 & 1 \\ 0 & 0 & 0 & -1 & 1 \end{pmatrix} \begin{pmatrix} x_1 \\ x_2 \\ x_3 \\ x_4 \\ x_5 \end{pmatrix} \leq \begin{pmatrix} 0 \\ -1 \\ 1 \\ 5 \\ 4 \\ -1 \\ -3 \\ -3 \end{pmatrix}$$

Algumas soluções:

- ▶  $x = (-5, -3, 0, -1, -4)$ ,
- ▶  $x' = (0, 2, 5, 4, 1), \dots$



## Soluções de sistemas de restrições de diferenças

## Lema

*Seja  $x = (x_1, \dots, x_n)$  uma solução de um sistema de restrições de diferença  $Ax \leq b$  e  $d$  uma constante. Então*

$$x + d = (x_1 + d, \dots, x_n + d)$$

*também é uma solução de  $Ax \leq b$ .*



## Soluções de sistemas de restrições de diferenças

## Lema

*Seja  $x = (x_1, \dots, x_n)$  uma solução de um sistema de restrições de diferença  $Ax \leq b$  e  $d$  uma constante. Então*

$$x + d = (x_1 + d, \dots, x_n + d)$$

*também é uma solução de  $Ax \leq b$ .*

Mostraremos a seguir como encontrar uma solução de um sistema  $Ax \leq b$  de restrições de diferença resolvendo um problema de caminhos mínimos.



## Grafo de restrições

Construímos o chamado **GRAFO DE RESTRIÇÕES** fazendo o seguinte:

1. Primeiro criamos um grafo em que:

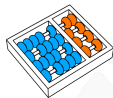




## Grafo de restrições

Construímos o chamado **GRAFO DE RESTRIÇÕES** fazendo o seguinte:

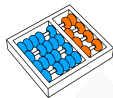
1. Primeiro criamos um grafo em que:
  - ▶ Cada vértice  $v_i$  corresponde a uma variável  $x_i$ .



## Grafo de restrições

Construímos o chamado **GRAFO DE RESTRIÇÕES** fazendo o seguinte:

1. Primeiro criamos um grafo em que:
  - ▶ Cada vértice  $v_i$  corresponde a uma variável  $x_i$ .
  - ▶ Cada aresta  $(v_i, v_j)$  tem peso  $b_k$  e corresponde a uma restrição  $x_j - x_i \leq b_k$ .



## Grafo de restrições

Construímos o chamado **GRAFO DE RESTRIÇÕES** fazendo o seguinte:

1. Primeiro criamos um grafo em que:
  - ▶ Cada vértice  $v_i$  corresponde a uma variável  $x_i$ .
  - ▶ Cada aresta  $(v_i, v_j)$  tem peso  $b_k$  e corresponde a uma restrição  $x_j - x_i \leq b_k$ .
  - ▶ Logo, a matriz  $A$  do sistema de restrições corresponde à transposta matriz de incidência desse grafo obtido



## Grafo de restrições

Construímos o chamado **GRAFO DE RESTRIÇÕES** fazendo o seguinte:

1. Primeiro criamos um grafo em que:
  - ▶ Cada vértice  $v_i$  corresponde a uma variável  $x_i$ .
  - ▶ Cada aresta  $(v_i, v_j)$  tem peso  $b_k$  e corresponde a uma restrição  $x_j - x_i \leq b_k$ .
  - ▶ Logo, a matriz  $A$  do sistema de restrições corresponde à transposta matriz de incidência desse grafo obtido
2. Finalmente, adicionamos um vértice especial  $v_0$  e uma aresta de  $v_0$  a cada outro vértice  $v_i$  com peso 0.



## Grafo de restrições

Formalmente, dado o sistema  $Ax \leq b$  de restrições de diferença, construímos o grafo  $G = (\mathbf{V}, \mathbf{E})$  tal que:

- ▶  $\mathbf{V} = \{v_0, v_1, \dots, v_n\}$ .
- ▶  $\mathbf{E} = \{(v_0, v_1), \dots, (v_0, v_n)\} \cup \{(v_i, v_j) : x_j - x_i \leq b_k \text{ é restrição}\}$



## Grafo de restrições

Formalmente, dado o sistema  $Ax \leq b$  de restrições de diferença, construímos o grafo  $G = (\mathbf{V}, \mathbf{E})$  tal que:

▶  $\mathbf{V} = \{\mathbf{v}_0, \mathbf{v}_1, \dots, \mathbf{v}_n\}$ .

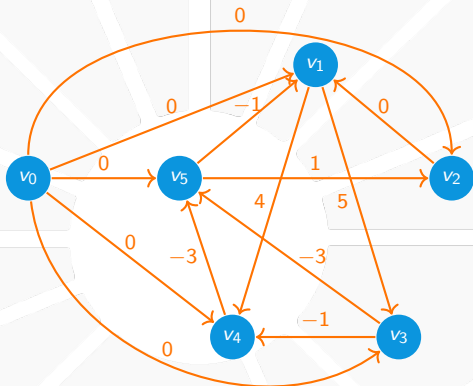
▶  $\mathbf{E} = \{(\mathbf{v}_0, \mathbf{v}_1), \dots, (\mathbf{v}_0, \mathbf{v}_n)\} \cup \{(\mathbf{v}_i, \mathbf{v}_j) : x_j - x_i \leq b_k \text{ é restrição}\}$

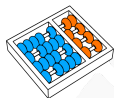
E associamos pesos:

▶  $w(\mathbf{v}_i, \mathbf{v}_j) = \begin{cases} b_k & \text{se } x_j - x_i \leq b_k \text{ é restrição} \\ 0 & \text{se } i = 0 \end{cases}$

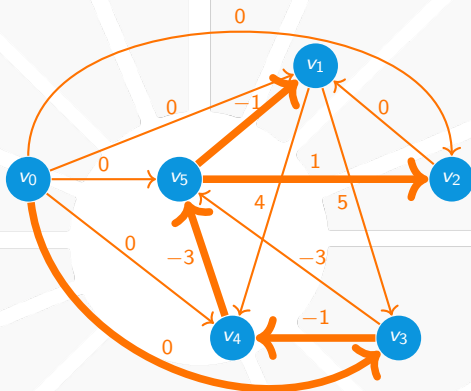


# Grafo de restrições





## Grafo de restrições



Uma solução viável é  $x = (-5, -3, 0, -1, -4)$ .





## Grafo de restrições

## Teorema

Seja  $Ax \leq b$  um sistema de restrições de diferença e  $G = (V, E)$  o grafo de restrições associado. Então:

- ▶ Se  $G$  não contém ciclos negativos,

$$x = (\text{dist}(v_0, v_1), \text{dist}(v_0, v_2), \dots, \text{dist}(v_0, v_n))$$

é uma solução viável do sistema.

- ▶ Se  $G$  contém ciclos negativos, o sistema não possui solução viável.



## Resolvendo um sistema de restrições de diferença

Para **RESOLVER O SISTEMA**, basta resolver caminhos mínimos:



## Resolvendo um sistema de restrições de diferença

Para **RESOLVER O SISTEMA**, basta resolver caminhos mínimos:

- ▶ Executamo BELLMAN-FORD a partir de  $v_0$  no grafo de restrições  $G$ .



## Resolvendo um sistema de restrições de diferença

Para **RESOLVER O SISTEMA**, basta resolver caminhos mínimos:

- ▶ Executamo **BELLMAN-FORD** a partir de  $v_0$  no grafo de restrições  $G$ .
- ▶ Como todo vértice é atingível de  $v_0$ , se houver ciclo negativo, o algoritmo devolve **FALSE**.



## Resolvendo um sistema de restrições de diferença

Para **RESOLVER O SISTEMA**, basta resolver caminhos mínimos:

- ▶ Executamos BELLMAN-FORD a partir de  $v_0$  no grafo de restrições  $G$ .
- ▶ Como todo vértice é atingível de  $v_0$ , se houver ciclo negativo, o algoritmo devolve FALSE.
- ▶ Se não existir ciclo negativo, então obtemos a solução  $x = (d[v_1], d[v_2], \dots, d[v_n])$ .



## Resolvendo um sistema de restrições de diferença

Para **RESOLVER O SISTEMA**, basta resolver caminhos mínimos:

- ▶ Executamo BELLMAN-FORD a partir de  $v_0$  no grafo de restrições  $G$ .
- ▶ Como todo vértice é atingível de  $v_0$ , se houver ciclo negativo, o algoritmo devolve FALSE.
- ▶ Se não existir ciclo negativo, então obtemos a solução  $x = (d[v_1], d[v_2], \dots, d[v_n])$ .

O **TEMPO DE EXECUÇÃO** é calculado como segue:



## Resolvendo um sistema de restrições de diferença

Para **RESOLVER O SISTEMA**, basta resolver caminhos mínimos:

- ▶ Executamo BELLMAN-FORD a partir de  $v_0$  no grafo de restrições  $G$ .
- ▶ Como todo vértice é atingível de  $v_0$ , se houver ciclo negativo, o algoritmo devolve FALSE.
- ▶ Se não existir ciclo negativo, então obtemos a solução  $x = (d[v_1], d[v_2], \dots, d[v_n])$ .

O **TEMPO DE EXECUÇÃO** é calculado como segue:

- ▶ A matriz  $A$  tem dimensões  $m \times n$ .



## Resolvendo um sistema de restrições de diferença

Para **RESOLVER O SISTEMA**, basta resolver caminhos mínimos:

- ▶ Executamo BELLMAN-FORD a partir de  $v_0$  no grafo de restrições  $G$ .
- ▶ Como todo vértice é atingível de  $v_0$ , se houver ciclo negativo, o algoritmo devolve FALSE.
- ▶ Se não existir ciclo negativo, então obtemos a solução  $x = (d[v_1], d[v_2], \dots, d[v_n])$ .

O **TEMPO DE EXECUÇÃO** é calculado como segue:

- ▶ A matriz  $A$  tem dimensões  $m \times n$ .
- ▶ Então,  $G$  possui  $n + 1$  vértices e  $n + m$  arestas.





## Resolvendo um sistema de restrições de diferença

Para **RESOLVER O SISTEMA**, basta resolver caminhos mínimos:

- ▶ Executamo BELLMAN-FORD a partir de  $v_0$  no grafo de restrições  $G$ .
- ▶ Como todo vértice é atingível de  $v_0$ , se houver ciclo negativo, o algoritmo devolve FALSE.
- ▶ Se não existir ciclo negativo, então obtemos a solução  $x = (d[v_1], d[v_2], \dots, d[v_n])$ .

O **TEMPO DE EXECUÇÃO** é calculado como segue:

- ▶ A matriz  $A$  tem dimensões  $m \times n$ .
- ▶ Então,  $G$  possui  $n + 1$  vértices e  $n + m$  arestas.
- ▶ Logo, o tempo de execução de BELLMAN-FORD em  $G$  é  $O((n + 1)(n + m)) = O(n^2 + nm)$ .



CAMINHOS MÍNIMOS  
ENTRE TODOS OS PARES  
DE VÉRTICES

Caminhos mínimos entre todos os pares de vértices



## Novo problema

Dado grafo ponderado  $(G, w)$  sem ciclos negativos, queremos encontrar um caminho mínimo de  $u$  a  $v$  para **TODO** par de vértices  $u, v$ .

Caminhos mínimos entre todos os pares de vértices



## Algoritmos para grafos esparsos

Podemos executar  $|V|$  vezes um algoritmo de Caminhos Mínimos com Mesma Origem:



## Algoritmos para grafos esparsos

Podemos executar  $|V|$  vezes um algoritmo de Caminhos Mínimos com Mesma Origem:

- ▶ Se  $(G, w)$  não possui arestas negativas, usamos DIJKSTRA:

Tipo de fila	Uma vez	$ V $ vezes
Heap	$O(E \log V)$	$O(VE \log V)$
Fibonacci	$O(V \log V + E)$	$O(V^2 \log V + VE)$



## Algoritmos para grafos esparsos

Podemos executar  $|V|$  vezes um algoritmo de Caminhos Mínimos com Mesma Origem:

- ▶ Se  $(G, w)$  não possui arestas negativas, usamos DIJKSTRA:

Tipo de fila	Uma vez	$ V $ vezes
Heap	$O(E \log V)$	$O(VE \log V)$
Fibonacci	$O(V \log V + E)$	$O(V^2 \log V + VE)$

- ▶ Se  $(G, w)$  possui arestas negativas, usamos BELLMAN-FORD:

Uma vez	$ V $ vezes
$O(VE)$	$O(V^2E)$

Caminhos mínimos entre todos os pares de vértices



## O algoritmo de Floyd-Warshall

**Floyd-Warshall** é um algoritmo que resolve o problema diretamente e é melhor se  $G$  for **DENSO**.



## O algoritmo de Floyd-Warshall

**Floyd-Warshall** é um algoritmo que resolve o problema diretamente e é melhor se  $G$  for **DENSO**.

- ▶ Um grafo é denso se  $|E| = \omega(V^2)$ .





## O algoritmo de Floyd-Warshall

**Floyd-Warshall** é um algoritmo que resolve o problema diretamente e é melhor se  $G$  for **DENSO**.

- ▶ Um grafo é denso se  $|E| = \omega(V^2)$ .
- ▶ É baseado em programação dinâmica.



## O algoritmo de Floyd-Warshall

**Floyd-Warshall** é um algoritmo que resolve o problema diretamente e é melhor se  $G$  for **DENSO**.

- ▶ Um grafo é denso se  $|E| = \omega(V^2)$ .
- ▶ É baseado em programação dinâmica.
- ▶ Resolve o problema em tempo  $O(V^3)$ .



## O algoritmo de Floyd-Warshall

**Floyd-Warshall** é um algoritmo que resolve o problema diretamente e é melhor se  $G$  for **DENSO**.

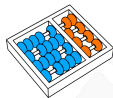
- ▶ Um grafo é denso se  $|E| = \omega(V^2)$ .
- ▶ É baseado em programação dinâmica.
- ▶ Resolve o problema em tempo  $O(V^3)$ .
- ▶ Supomos que  $G$  é completo:



## O algoritmo de Floyd-Warshall

**Floyd-Warshall** é um algoritmo que resolve o problema diretamente e é melhor se  $G$  for **DENSO**.

- ▶ Um grafo é denso se  $|E| = \omega(V^2)$ .
- ▶ É baseado em programação dinâmica.
- ▶ Resolve o problema em tempo  $O(V^3)$ .
- ▶ Supomos que  $G$  é completo:

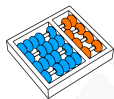


## O algoritmo de Floyd-Warshall

**Floyd-Warshall** é um algoritmo que resolve o problema diretamente e é melhor se  $G$  for **DENSO**.

- ▶ Um grafo é denso se  $|E| = \omega(V^2)$ .
- ▶ É baseado em programação dinâmica.
- ▶ Resolve o problema em tempo  $O(V^3)$ .
- ▶ Supomos que  $G$  é completo:  
⇒ Se  $(i, j)$  não é aresta, definimos  $w(i, j) = \infty$

Caminhos mínimos entre todos os pares de vértices



## Subproblema

Para simplificar a discussão, suponha que  $V = \{1, 2, \dots, n\}$ .



## Subproblema

Para simplificar a discussão, suponha que  $V = \{1, 2, \dots, n\}$ .

Considere um caminho  $P = (v_1, v_2, \dots, v_{l-1}, v_l)$ :



## Subproblema

Para simplificar a discussão, suponha que  $V = \{1, 2, \dots, n\}$ .

Considere um caminho  $P = (v_1, v_2, \dots, v_{l-1}, v_l)$ :

- ▶ Os **VÉRTICES INTERNOS** de  $P$  são  $\{v_2, \dots, v_{l-1}\}$ .





## Subproblema

Para simplificar a discussão, suponha que  $V = \{1, 2, \dots, n\}$ .

Considere um caminho  $P = (v_1, v_2, \dots, v_{l-1}, v_l)$ :

- ▶ Os **VÉRTICES INTERNOS** de  $P$  são  $\{v_2, \dots, v_{l-1}\}$ .
- ▶  $P$  é chamado  **$k$ -INTERNO** se  $\{v_2, \dots, v_{l-1}\} \subseteq \{1, \dots, k\}$ .



## Subproblema

Para simplificar a discussão, suponha que  $V = \{1, 2, \dots, n\}$ .

Considere um caminho  $P = (v_1, v_2, \dots, v_{l-1}, v_l)$ :

- ▶ Os **VÉRTICES INTERNOS** de  $P$  são  $\{v_2, \dots, v_{l-1}\}$ .
- ▶  $P$  é chamado  **$k$ -INTERNO** se  $\{v_2, \dots, v_{l-1}\} \subseteq \{1, \dots, k\}$ .

## Problema (Subproblema ótimo)

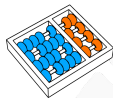
*Sejam  $i$  e  $j$  vértices de  $G$  e  $k$  um inteiro com  $k \geq 0$ . Dentre todos os caminhos  $k$ -internos de  $i$  até  $j$ , encontre algum que tenha custo mínimo.*



## Estrutura de um caminho mínimo

O algoritmo de Floyd-Warshall explora a relação entre:

- ▶ Um caminho  $k$ -interno  $P$  de  $i$  até  $j$  que tem custo mínimo
- ▶ e outros caminhos  $(k - 1)$ -internos.

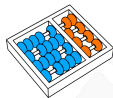


## Estrutura de um caminho mínimo

O algoritmo de Floyd-Warshall explora a relação entre:

- ▶ Um caminho  $k$ -interno  $P$  de  $i$  até  $j$  que tem custo mínimo
- ▶ e outros caminhos  $(k - 1)$ -internos.

**Caso 1:** Se  $k$  não é um vértice interno de  $P$ :



## Estrutura de um caminho mínimo

O algoritmo de Floyd-Warshall explora a relação entre:

- ▶ Um caminho  $k$ -interno  $P$  de  $i$  até  $j$  que tem custo mínimo
- ▶ e outros caminhos  $(k - 1)$ -internos.

**Caso 1:** Se  $k$  não é um vértice interno de  $P$ :

- ▶ Todos os vértices internos de  $P$  estão em  $\{1, \dots, k - 1\}$ .



## Estrutura de um caminho mínimo

O algoritmo de Floyd-Warshall explora a relação entre:

- ▶ Um caminho  $k$ -interno  $P$  de  $i$  até  $j$  que tem custo mínimo
- ▶ e outros caminhos  $(k - 1)$ -internos.

**Caso 1:** Se  $k$  não é um vértice interno de  $P$ :

- ▶ Todos os vértices internos de  $P$  estão em  $\{1, \dots, k - 1\}$ .
- ▶ Então,  $P$  é um caminho  $(k - 1)$ -interno de custo mínimo.



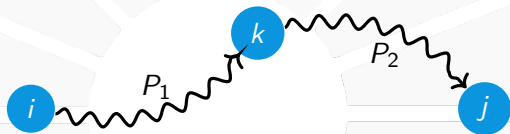
## Estrutura de um caminho mínimo

**Caso 2:** Se  $k$  é um vértice interno de  $P$ , então  $P$  pode ser dividido em dois caminhos  $P_1$  (com início em  $i$  e fim em  $k$ ) e  $P_2$  (com início em  $k$  e fim em  $j$ ).



## Estrutura de um caminho mínimo

**Caso 2:** Se  $k$  é um vértice interno de  $P$ , então  $P$  pode ser dividido em dois caminhos  $P_1$  (com início em  $i$  e fim em  $k$ ) e  $P_2$  (com início em  $k$  e fim em  $j$ ).

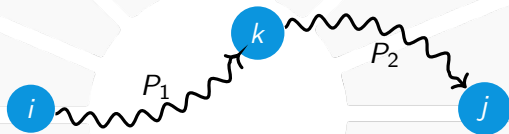






## Estrutura de um caminho mínimo

**Caso 2:** Se  $k$  é um vértice interno de  $P$ , então  $P$  pode ser dividido em dois caminhos  $P_1$  (com início em  $i$  e fim em  $k$ ) e  $P_2$  (com início em  $k$  e fim em  $j$ ).

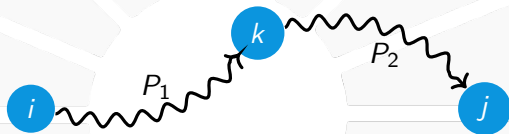


- ▶  $P_1$  é um caminho mínimo de  $i$  a  $k$  com vértices internos em  $\{1, \dots, k-1\}$ .



## Estrutura de um caminho mínimo

**Caso 2:** Se  $k$  é um vértice interno de  $P$ , então  $P$  pode ser dividido em dois caminhos  $P_1$  (com início em  $i$  e fim em  $k$ ) e  $P_2$  (com início em  $k$  e fim em  $j$ ).



- ▶  $P_1$  é um caminho mínimo de  $i$  a  $k$  com vértices internos em  $\{1, \dots, k-1\}$ .
- ▶  $P_2$  é um caminho mínimo de  $k$  a  $j$  com vértices internos em  $\{1, \dots, k-1\}$ .

Caminhos mínimos entre todos os pares de vértices



## Recorrência para caminhos mínimos

Seja  $d_{ij}^{(k)}$  o peso de um caminho  $k$ -interno mínimo de  $i$  a  $j$ .



## Recorrência para caminhos mínimos

Seja  $d_{ij}^{(k)}$  o peso de um caminho  $k$ -interno mínimo de  $i$  a  $j$ .

► Se  $k = 0$  então  $d_{ij}^{(0)} = w(i, j)$ .



## Recorrência para caminhos mínimos

Seja  $d_{ij}^{(k)}$  o peso de um caminho  $k$ -interno mínimo de  $i$  a  $j$ .

- ▶ Se  $k = 0$  então  $d_{ij}^{(0)} = w(i, j)$ .
- ▶ Senão, caímos em algum dos dois casos anteriores.



## Recorrência para caminhos mínimos

Seja  $d_{ij}^{(k)}$  o peso de um caminho  $k$ -interno mínimo de  $i$  a  $j$ .

- ▶ Se  $k = 0$  então  $d_{ij}^{(0)} = w(i, j)$ .
- ▶ Senão, caímos em algum dos dois casos anteriores.

Obtemos a seguinte recorrência:

$$d_{ij}^{(k)} = \begin{cases} w(i, j) & \text{se } k = 0, \\ \min(d_{ij}^{(k-1)}, d_{ik}^{(k-1)} + d_{kj}^{(k-1)}) & \text{se } k \geq 1. \end{cases}$$



## Recorrência para caminhos mínimos

Seja  $d_{ij}^{(k)}$  o peso de um caminho  $k$ -interno mínimo de  $i$  a  $j$ .

- ▶ Se  $k = 0$  então  $d_{ij}^{(0)} = w(i, j)$ .
- ▶ Senão, caímos em algum dos dois casos anteriores.

Obtemos a seguinte recorrência:

$$d_{ij}^{(k)} = \begin{cases} w(i, j) & \text{se } k = 0, \\ \min(d_{ij}^{(k-1)}, d_{ik}^{(k-1)} + d_{kj}^{(k-1)}) & \text{se } k \geq 1. \end{cases}$$

Note que,  $d_{ij}^{(n)} = \text{dist}(i, j)$ .



## Recorrência para caminhos mínimos

Seja  $d_{ij}^{(k)}$  o peso de um caminho  $k$ -interno mínimo de  $i$  a  $j$ .

- ▶ Se  $k = 0$  então  $d_{ij}^{(0)} = w(i, j)$ .
- ▶ Senão, caímos em algum dos dois casos anteriores.

Obtemos a seguinte recorrência:

$$d_{ij}^{(k)} = \begin{cases} w(i, j) & \text{se } k = 0, \\ \min(d_{ij}^{(k-1)}, d_{ik}^{(k-1)} + d_{kj}^{(k-1)}) & \text{se } k \geq 1. \end{cases}$$

Note que,  $d_{ij}^{(n)} = \text{dist}(i, j)$ . Por quê?





## Recorrência para caminhos mínimos

Seja  $d_{ij}^{(k)}$  o peso de um caminho  $k$ -interno mínimo de  $i$  a  $j$ .

- ▶ Se  $k = 0$  então  $d_{ij}^{(0)} = w(i, j)$ .
- ▶ Senão, caímos em algum dos dois casos anteriores.

Obtemos a seguinte recorrência:

$$d_{ij}^{(k)} = \begin{cases} w(i, j) & \text{se } k = 0, \\ \min(d_{ij}^{(k-1)}, d_{ik}^{(k-1)} + d_{kj}^{(k-1)}) & \text{se } k \geq 1. \end{cases}$$

Note que,  $d_{ij}^{(n)} = \text{dist}(i, j)$ . Por quê?

- ▶ Calculamos as matrizes  $D^{(k)} = (d_{ij}^{(k)})$  para  $k = 1, 2, \dots, n$ .



## Recorrência para caminhos mínimos

Seja  $d_{ij}^{(k)}$  o peso de um caminho  $k$ -interno mínimo de  $i$  a  $j$ .

- ▶ Se  $k = 0$  então  $d_{ij}^{(0)} = w(i, j)$ .
- ▶ Senão, caímos em algum dos dois casos anteriores.

Obtemos a seguinte recorrência:

$$d_{ij}^{(k)} = \begin{cases} w(i, j) & \text{se } k = 0, \\ \min(d_{ij}^{(k-1)}, d_{ik}^{(k-1)} + d_{kj}^{(k-1)}) & \text{se } k \geq 1. \end{cases}$$

Note que,  $d_{ij}^{(n)} = \text{dist}(i, j)$ . Por quê?

- ▶ Calculamos as matrizes  $D^{(k)} = (d_{ij}^{(k)})$  para  $k = 1, 2, \dots, n$ .
- ▶ A resposta do problema é  $D^{(n)}$ .

Caminhos mínimos entre todos os pares de vértices



## Algoritmo de Floyd-Warshall

### Problema

**Entrada:** Matriz  $W = (w(i,j))$  com dimensões  $n \times n$ .

**Saída:** Matriz  $D^{(n)}$ .



## Algoritmo de Floyd-Warshall

### Problema

**Entrada:** Matriz  $W = (w(i, j))$  com dimensões  $n \times n$ .

**Saída:** Matriz  $D^{(n)}$ .

---

### Algoritmo 8: FLOYD-WARSHALL( $W, n$ )

---

```
1  $D^{(0)} \leftarrow W$ 
2 para  $k \leftarrow 1$  até  $n$ 
3   para  $i \leftarrow 1$  até  $n$ 
4     para  $j \leftarrow 1$  até  $n$ 
5        $d_{ij}^{(k)} \leftarrow \min(d_{ij}^{(k-1)}, d_{ik}^{(k-1)} + d_{kj}^{(k-1)})$ 
6 devolva  $D^{(n)}$ 
```

---



## Algoritmo de Floyd-Warshall

### Problema

**Entrada:** Matriz  $W = (w(i, j))$  com dimensões  $n \times n$ .

**Saída:** Matriz  $D^{(n)}$ .

---

### Algoritmo 9: FLOYD-WARSHALL( $W, n$ )

---

```
1  $D^{(0)} \leftarrow W$ 
2 para  $k \leftarrow 1$  até  $n$ 
3   para  $i \leftarrow 1$  até  $n$ 
4     para  $j \leftarrow 1$  até  $n$ 
5        $d_{ij}^{(k)} \leftarrow \min(d_{ij}^{(k-1)}, d_{ik}^{(k-1)} + d_{kj}^{(k-1)})$ 
6 devolva  $D^{(n)}$ 
```

---

Complexidade:  $O(V^3)$ .

Caminhos mínimos entre todos os pares de vértices



Como encontrar os caminhos?

Devolvemos matriz de predecessores  $\Pi = (\pi_{ij})$



## Como encontrar os caminhos?

Devolvemos matriz de predecessores  $\Pi = (\pi_{ij})$

(a)  $\pi_{ij} = \text{NIL}$  se  $i = j$  ou se não existe caminho de  $i$  a  $j$ ,



## Como encontrar os caminhos?

Devolvemos matriz de predecessores  $\Pi = (\pi_{ij})$

- (a)  $\pi_{ij} = \text{NIL}$  se  $i = j$  ou se não existe caminho de  $i$  a  $j$ ,
- (b)  $\pi_{ij}$  é o **PREDECESSOR** de  $j$  em algum caminho mínimo a partir de  $i$ , caso contrário.





## Como encontrar os caminhos?

Devolvemos matriz de predecessores  $\Pi = (\pi_{ij})$

- (a)  $\pi_{ij} = \text{NIL}$  se  $i = j$  ou se não existe caminho de  $i$  a  $j$ ,
- (b)  $\pi_{ij}$  é o **PREDECESSOR** de  $j$  em algum caminho mínimo a partir de  $i$ , caso contrário.
  - ▶ Calculamos do mesmo modo que  $D^{(k)}$ .
  - ▶ Obtemos uma sequência de matrizes  $\Pi^{(0)}, \Pi^{(1)}, \dots, \Pi^{(n)}$



## Como encontrar os caminhos?

Devolvemos matriz de predecessores  $\Pi = (\pi_{ij})$

- (a)  $\pi_{ij} = \text{NIL}$  se  $i = j$  ou se não existe caminho de  $i$  a  $j$ ,
  - (b)  $\pi_{ij}$  é o **PREDECESSOR** de  $j$  em algum caminho mínimo a partir de  $i$ , caso contrário.
- ▶ Calculamos do mesmo modo que  $D^{(k)}$ .
  - ▶ Obtemos uma sequência de matrizes  $\Pi^{(0)}, \Pi^{(1)}, \dots, \Pi^{(n)}$

Quando  $k = 0$ :

$$\pi_{ij}^{(0)} = \begin{cases} \text{NIL} & \text{se } i = j \text{ ou } w(i, j) = \infty, \\ i & \text{se } i \neq j \text{ e } w(i, j) < \infty. \end{cases}$$

Caminhos mínimos entre todos os pares de vértices



Como encontrar os caminhos?

Se  $k \geq 1$ :

Caminhos mínimos entre todos os pares de vértices



Como encontrar os caminhos?

Se  $k \geq 1$ :

- ▶ Considere um caminho  $k$ -interno mínimo  $P$  de  $i$  a  $j$ .



## Como encontrar os caminhos?

Se  $k \geq 1$ :

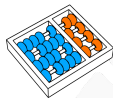
- ▶ Considere um caminho  $k$ -interno mínimo  $P$  de  $i$  a  $j$ .
- ▶ Obtemos o **PREDECESSOR DE  $j$** :
  - ▶ Se  $k$  não aparece em  $P$ , então usamos o predecessor de um caminho  $(k - 1)$ -interno de  $i$  a  $j$ .



## Como encontrar os caminhos?

Se  $k \geq 1$ :

- ▶ Considere um caminho  $k$ -interno mínimo  $P$  de  $i$  a  $j$ .
- ▶ Obtemos o **PREDECESSOR DE  $j$** :
  - ▶ Se  $k$  não aparece em  $P$ , então usamos o predecessor de um caminho  $(k - 1)$ -interno de  $i$  a  $j$ .
  - ▶ Se  $k$  aparece em  $P$ , então usamos o predecessor de um caminho  $(k - 1)$ -interno de  $k$  a  $j$ .



## Como encontrar os caminhos?

Se  $k \geq 1$ :

- ▶ Considere um caminho  $k$ -interno mínimo  $P$  de  $i$  a  $j$ .
- ▶ Obtemos o **PREDECESSOR DE  $j$** :
  - ▶ Se  $k$  não aparece em  $P$ , então usamos o predecessor de um caminho  $(k - 1)$ -interno de  $i$  a  $j$ .
  - ▶ Se  $k$  aparece em  $P$ , então usamos o predecessor de um caminho  $(k - 1)$ -interno de  $k$  a  $j$ .

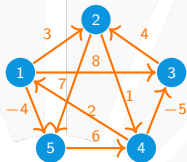
Formalmente,

$$\pi_{ij}^{(k)} = \begin{cases} \pi_{ij}^{(k-1)} & \text{se } d_{ij}^{(k-1)} \leq d_{ik}^{(k-1)} + d_{kj}^{(k-1)}, \\ \pi_{kj}^{(k-1)} & \text{se } d_{ij}^{(k-1)} > d_{ik}^{(k-1)} + d_{kj}^{(k-1)}. \end{cases}$$

# Caminhos mínimos entre todos os pares de vértices



## Exemplo

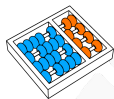


$$D^{(0)} = \begin{pmatrix} 0 & 3 & 8 & \infty & -4 \\ \infty & 0 & \infty & 1 & 7 \\ \infty & 4 & 0 & \infty & \infty \\ 2 & \infty & -5 & 0 & \infty \\ \infty & \infty & \infty & 6 & 0 \end{pmatrix}$$

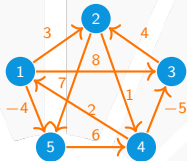
$$\Pi^{(0)} = \begin{pmatrix} N & 1 & 1 & N & 1 \\ N & N & N & 2 & 2 \\ N & 3 & N & N & N \\ 4 & N & 4 & N & N \\ N & N & N & 5 & N \end{pmatrix}$$



# Caminhos mínimos entre todos os pares de vértices



## Exemplo



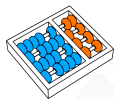
$$D^{(0)} = \begin{pmatrix} 0 & 3 & 8 & \infty & -4 \\ \infty & 0 & \infty & 1 & 7 \\ \infty & 4 & 0 & \infty & \infty \\ 2 & \infty & -5 & 0 & \infty \\ \infty & \infty & \infty & 6 & 0 \end{pmatrix}$$

$$\Pi^{(0)} = \begin{pmatrix} N & 1 & 1 & N & 1 \\ N & N & N & 2 & 2 \\ N & 3 & N & N & N \\ 4 & N & 4 & N & N \\ N & N & N & 5 & N \end{pmatrix}$$

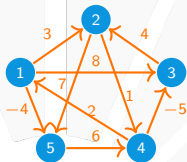
$$D^{(1)} = \begin{pmatrix} 0 & 3 & 8 & \infty & -4 \\ \infty & 0 & \infty & 1 & 7 \\ \infty & 4 & 0 & \infty & \infty \\ 2 & \mathbf{5} & -5 & 0 & \mathbf{-2} \\ \infty & \infty & \infty & 6 & 0 \end{pmatrix}$$

$$\Pi^{(1)} = \begin{pmatrix} N & 1 & 1 & N & 1 \\ N & N & N & 2 & 2 \\ N & 3 & N & N & N \\ 4 & \mathbf{1} & 4 & N & \mathbf{1} \\ N & N & N & 5 & N \end{pmatrix}$$

# Caminhos mínimos entre todos os pares de vértices



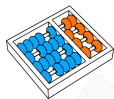
## Exemplo



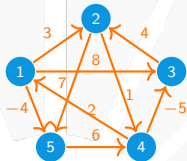
$$D^{(1)} = \begin{pmatrix} 0 & 3 & 8 & \infty & -4 \\ \infty & 0 & \infty & 1 & 7 \\ \infty & 4 & 0 & \infty & \infty \\ 2 & 5 & -5 & 0 & -2 \\ \infty & \infty & \infty & 6 & 0 \end{pmatrix}$$

$$\Pi^{(1)} = \begin{pmatrix} N & 1 & 1 & N & 1 \\ N & N & N & 2 & 2 \\ N & 3 & N & N & N \\ 4 & 1 & 4 & N & 1 \\ N & N & N & 5 & N \end{pmatrix}$$

# Caminhos mínimos entre todos os pares de vértices



## Exemplo



$$D^{(1)} = \begin{pmatrix} 0 & 3 & 8 & \infty & -4 \\ \infty & 0 & \infty & 1 & 7 \\ \infty & 4 & 0 & \infty & \infty \\ 2 & 5 & -5 & 0 & -2 \\ \infty & \infty & \infty & 6 & 0 \end{pmatrix}$$

$$\Pi^{(1)} = \begin{pmatrix} N & 1 & 1 & N & 1 \\ N & N & N & 2 & 2 \\ N & 3 & N & N & N \\ 4 & 1 & 4 & N & 1 \\ N & N & N & 5 & N \end{pmatrix}$$

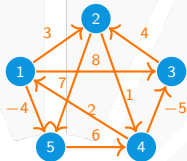
$$D^{(2)} = \begin{pmatrix} 0 & 3 & 8 & 4 & -4 \\ \infty & 0 & \infty & 1 & 7 \\ \infty & 4 & 0 & 5 & 11 \\ 2 & 5 & -5 & 0 & -2 \\ \infty & \infty & \infty & 6 & 0 \end{pmatrix}$$

$$\Pi^{(2)} = \begin{pmatrix} N & 1 & 1 & 2 & 1 \\ N & N & N & 2 & 2 \\ N & 3 & N & 2 & 2 \\ 4 & 1 & 4 & N & 1 \\ N & N & N & 5 & N \end{pmatrix}$$

# Caminhos mínimos entre todos os pares de vértices



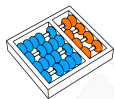
## Exemplo



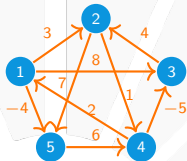
$$D^{(2)} = \begin{pmatrix} 0 & 3 & 8 & 4 & -4 \\ \infty & 0 & \infty & 1 & 7 \\ \infty & 4 & 0 & 5 & 11 \\ 2 & 5 & -5 & 0 & -2 \\ \infty & \infty & \infty & 6 & 0 \end{pmatrix}$$

$$\Pi^{(2)} = \begin{pmatrix} N & 1 & 1 & 4 & 1 \\ N & N & N & 2 & 2 \\ N & 3 & N & 2 & 2 \\ 4 & 1 & 4 & N & 1 \\ N & N & N & 5 & N \end{pmatrix}$$

# Caminhos mínimos entre todos os pares de vértices



## Exemplo



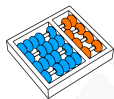
$$D^{(2)} = \begin{pmatrix} 0 & 3 & 8 & 4 & -4 \\ \infty & 0 & \infty & 1 & 7 \\ \infty & 4 & 0 & 5 & 11 \\ 2 & 5 & -5 & 0 & -2 \\ \infty & \infty & \infty & 6 & 0 \end{pmatrix}$$

$$\Pi^{(2)} = \begin{pmatrix} N & 1 & 1 & 4 & 1 \\ N & N & N & 2 & 2 \\ N & 3 & N & 2 & 2 \\ \hline 4 & 1 & 4 & N & 1 \\ N & N & N & 5 & N \end{pmatrix}$$

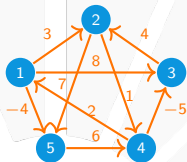
$$D^{(3)} = \begin{pmatrix} 0 & 3 & 8 & 4 & -4 \\ \infty & 0 & \infty & 1 & 7 \\ \infty & 4 & 0 & 5 & 11 \\ 2 & -1 & -5 & 0 & -2 \\ \infty & \infty & \infty & 6 & 0 \end{pmatrix}$$

$$\Pi^{(3)} = \begin{pmatrix} N & 1 & 1 & 2 & 1 \\ N & N & N & 2 & 2 \\ N & 3 & N & 2 & 2 \\ \hline 4 & 3 & 4 & N & 1 \\ N & N & N & 5 & N \end{pmatrix}$$

# Caminhos mínimos entre todos os pares de vértices



## Exemplo



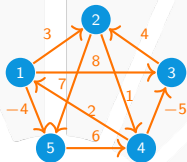
$$D^{(3)} = \begin{pmatrix} 0 & 3 & 8 & 4 & -4 \\ \infty & 0 & \infty & 1 & 7 \\ \infty & 4 & 0 & 5 & 11 \\ 2 & -1 & -5 & 0 & -2 \\ \infty & \infty & \infty & 6 & 0 \end{pmatrix}$$

$$\Pi^{(3)} = \begin{pmatrix} N & 1 & 1 & 2 & 1 \\ N & N & N & 2 & 2 \\ N & 3 & N & 2 & 2 \\ 4 & 3 & 4 & N & 1 \\ N & N & N & 5 & N \end{pmatrix}$$

# Caminhos mínimos entre todos os pares de vértices



## Exemplo



$$D^{(3)} = \begin{pmatrix} 0 & 3 & 8 & 4 & -4 \\ \infty & 0 & \infty & 1 & 7 \\ \infty & 4 & 0 & 5 & 11 \\ 2 & -1 & -5 & 0 & -2 \\ \infty & \infty & \infty & 6 & 0 \end{pmatrix}$$

$$\Pi^{(3)} = \begin{pmatrix} N & 1 & 1 & 2 & 1 \\ N & N & N & 2 & 2 \\ N & 3 & N & 2 & 2 \\ 4 & 3 & 4 & N & 1 \\ N & N & N & 5 & N \end{pmatrix}$$

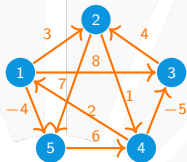
$$D^{(4)} = \begin{pmatrix} 0 & 3 & -1 & 4 & -4 \\ 3 & 0 & -4 & 1 & -1 \\ 7 & 4 & 0 & 5 & 3 \\ 2 & -1 & -5 & 0 & -2 \\ 8 & 5 & 1 & 6 & 0 \end{pmatrix}$$

$$\Pi^{(4)} = \begin{pmatrix} N & 1 & 4 & 2 & 1 \\ 4 & N & 4 & 2 & 1 \\ 4 & 3 & N & 2 & 1 \\ 4 & 3 & 4 & N & 1 \\ 4 & 3 & 4 & 5 & N \end{pmatrix}$$

# Caminhos mínimos entre todos os pares de vértices



## Exemplo



$$D^{(4)} = \begin{pmatrix} 0 & 3 & -1 & 4 & -4 \\ 3 & 0 & -4 & 1 & -1 \\ 7 & 4 & 0 & 5 & 3 \\ 2 & -1 & -5 & 0 & -2 \\ 8 & 5 & 1 & 6 & 0 \end{pmatrix}$$

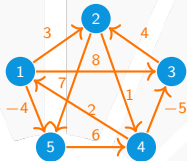
$$\Pi^{(4)} = \begin{pmatrix} N & 1 & 4 & 2 & 1 \\ 4 & N & 4 & 2 & 1 \\ 4 & 3 & N & 2 & 1 \\ 4 & 3 & 4 & N & 1 \\ 4 & 3 & 4 & 5 & N \end{pmatrix}$$



# Caminhos mínimos entre todos os pares de vértices



## Exemplo



$$D^{(4)} = \begin{pmatrix} 0 & 3 & -1 & 4 & -4 \\ 3 & 0 & -4 & 1 & -1 \\ 7 & 4 & 0 & 5 & 3 \\ 2 & -1 & -5 & 0 & -2 \\ 8 & 5 & 1 & 6 & 0 \end{pmatrix}$$

$$\Pi^{(4)} = \begin{pmatrix} N & 1 & 4 & 2 & 1 \\ 4 & N & 4 & 2 & 1 \\ 4 & 3 & N & 2 & 1 \\ 4 & 3 & 4 & N & 1 \\ 4 & 3 & 4 & 5 & N \end{pmatrix}$$

$$D^{(5)} = \begin{pmatrix} 0 & \mathbf{1} & \mathbf{-3} & \mathbf{2} & -4 \\ 3 & 0 & -4 & 1 & -1 \\ 7 & 4 & 0 & 5 & 3 \\ 2 & -1 & -5 & 0 & -2 \\ 8 & 5 & 1 & 6 & 0 \end{pmatrix}$$

$$\Pi^{(5)} = \begin{pmatrix} N & \mathbf{3} & \mathbf{4} & \mathbf{5} & 1 \\ 4 & N & 4 & 2 & 1 \\ 4 & 3 & N & 2 & 1 \\ 4 & 3 & 4 & N & 1 \\ 4 & 3 & 4 & 5 & N \end{pmatrix}$$



# FECHO TRANSITIVO DE GRAFOS DIRECCIONADOS



## Fecho transitivo de grafos direcionados

Seja  $G = (\mathbf{V}, \mathbf{E})$  um grafo direcionado com  $\mathbf{V} = \{1, 2, \dots, n\}$ .



## Fecho transitivo de grafos direcionados

Seja  $G = (\mathbf{V}, \mathbf{E})$  um grafo direcionado com  $\mathbf{V} = \{1, 2, \dots, n\}$ .

O **FECHO TRANSITIVO** de  $G = (\mathbf{V}, \mathbf{E})$  é o grafo  $G^* = (\mathbf{V}, \mathbf{E}^*)$  onde:

$\mathbf{E}^* = \{(i, j) : \text{existe um caminho de } i \text{ a } j \text{ em } G\}$ .

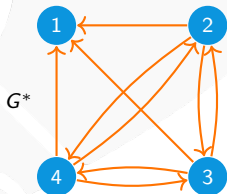
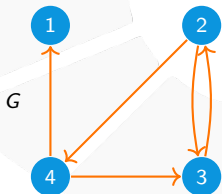


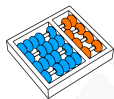
## Fecho transitivo de grafos direcionados

Seja  $G = (\mathbf{V}, \mathbf{E})$  um grafo direcionado com  $\mathbf{V} = \{1, 2, \dots, n\}$ .

O **FECHO TRANSITIVO** de  $G = (\mathbf{V}, \mathbf{E})$  é o grafo  $G^* = (\mathbf{V}, \mathbf{E}^*)$  onde:

$\mathbf{E}^* = \{(i, j) : \text{existe um caminho de } i \text{ a } j \text{ em } G\}$ .





## Um detalhe de implementação

Determinando o fecho transitivo de  $G = (\mathbf{V}, \mathbf{E})$ :



## Um detalhe de implementação

Determinando o fecho transitivo de  $G = (V, E)$ :

1. Atribuimos peso 1 a cada aresta.



## Um detalhe de implementação

Determinando o fecho transitivo de  $G = (\mathbf{V}, \mathbf{E})$ :

1. Atribuimos peso 1 a cada aresta.
2. Executamos FLOYD-WARSHALL em tempo  $\Theta(V^3)$ .

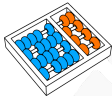




## Um detalhe de implementação

Determinando o fecho transitivo de  $G = (V, E)$ :

1. Atribuimos peso 1 a cada aresta.
2. Executamos FLOYD-WARSHALL em tempo  $\Theta(V^3)$ .
3. Existe um caminho de  $i$  a  $j$  se e somente se  $d_{ij} < |V|$ .



## Um detalhe de implementação

Determinando o fecho transitivo de  $G = (V, E)$ :

1. Atribuimos peso 1 a cada aresta.
2. Executamos FLOYD-WARSHALL em tempo  $\Theta(V^3)$ .
3. Existe um caminho de  $i$  a  $j$  se e somente se  $d_{ij} < |V|$ .

Na prática:



## Um detalhe de implementação

Determinando o fecho transitivo de  $G = (V, E)$ :

1. Atribuimos peso 1 a cada aresta.
2. Executamos FLOYD-WARSHALL em tempo  $\Theta(V^3)$ .
3. Existe um caminho de  $i$  a  $j$  se e somente se  $d_{ij} < |V|$ .

Na prática:

- ▶ Executamos FLOYD-WARSHALL substituindo:
  - ▶ min por  $\vee$  (OU lógico).
  - ▶ + por  $\wedge$  (E lógico).



## Um detalhe de implementação

Determinando o fecho transitivo de  $G = (V, E)$ :

1. Atribuimos peso 1 a cada aresta.
2. Executamos FLOYD-WARSHALL em tempo  $\Theta(V^3)$ .
3. Existe um caminho de  $i$  a  $j$  se e somente se  $d_{ij} < |V|$ .

Na prática:

- ▶ Executamos FLOYD-WARSHALL substituindo:
  - ▶ min por  $\vee$  (OU lógico).
  - ▶ + por  $\wedge$  (E lógico).
- ▶ Tem a mesma complexidade assintótica.



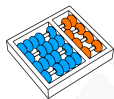
## Um detalhe de implementação

Determinando o fecho transitivo de  $G = (V, E)$ :

1. Atribuimos peso 1 a cada aresta.
2. Executamos FLOYD-WARSHALL em tempo  $\Theta(V^3)$ .
3. Existe um caminho de  $i$  a  $j$  se e somente se  $d_{ij} < |V|$ .

Na prática:

- ▶ Executamos FLOYD-WARSHALL substituindo:
  - ▶ min por  $\vee$  (OU lógico).
  - ▶ + por  $\wedge$  (E lógico).
- ▶ Tem a mesma complexidade assintótica.
- ▶ Economiza tempo e espaço.



## Fecho transitivo de grafos direccionados

Defina  $t_{i,j}^{(k)}$  o valor booleano:



## Fecho transitivo de grafos direcionados

Defina  $t_{i,j}^{(k)}$  o valor booleano:

- ▶ TRUE se existe caminho  $k$ -interno de  $i$  a  $j$ .



## Fecho transitivo de grafos direcionados

Defina  $t_{i,j}^{(k)}$  o valor booleano:

- ▶ TRUE se existe caminho  $k$ -interno de  $i$  a  $j$ .
- ▶ FALSE se **NÃO** existe caminho  $k$ -interno de  $i$  a  $j$ .





## Fecho transitivo de grafos direcionados

Defina  $t_{i,j}^{(k)}$  o valor booleano:

- ▶ TRUE se existe caminho  $k$ -interno de  $i$  a  $j$ .
- ▶ FALSE se **NÃO** existe caminho  $k$ -interno de  $i$  a  $j$ .

Para  $k = 0$

$$t_{ij}^{(0)} = \begin{cases} 0 & \text{se } i \neq j \text{ e } (i, j) \notin E, \\ 1 & \text{se } i = j \text{ ou } (i, j) \in E, \end{cases}$$



## Fecho transitivo de grafos direcionados

Defina  $t_{i,j}^{(k)}$  o valor booleano:

- ▶ TRUE se existe caminho  $k$ -interno de  $i$  a  $j$ .
- ▶ FALSE se **NÃO** existe caminho  $k$ -interno de  $i$  a  $j$ .

Para  $k = 0$

$$t_{ij}^{(0)} = \begin{cases} 0 & \text{se } i \neq j \text{ e } (i, j) \notin E, \\ 1 & \text{se } i = j \text{ ou } (i, j) \in E, \end{cases}$$

e para  $k \geq 1$ ,

$$t_{ij}^{(k)} = t_{ij}^{(k-1)} \vee (t_{ik}^{(k-1)} \wedge t_{kj}^{(k-1)}).$$



## Fecho transitivo de grafos direcionados

Defina  $t_{i,j}^{(k)}$  o valor booleano:

- ▶ TRUE se existe caminho  $k$ -interno de  $i$  a  $j$ .
- ▶ FALSE se **NÃO** existe caminho  $k$ -interno de  $i$  a  $j$ .

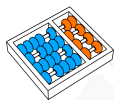
Para  $k = 0$

$$t_{ij}^{(0)} = \begin{cases} 0 & \text{se } i \neq j \text{ e } (i, j) \notin E, \\ 1 & \text{se } i = j \text{ ou } (i, j) \in E, \end{cases}$$

e para  $k \geq 1$ ,

$$t_{ij}^{(k)} = t_{ij}^{(k-1)} \vee (t_{ik}^{(k-1)} \wedge t_{kj}^{(k-1)}).$$

Como em FLOYD-WARSHALL, calculamos matrizes  $T^{(k)} = (t_{ij}^{(k)})$ .



## Algoritmo de Transitive-Closure

### Problema

**Entrada:** Matriz de adjacência  $A$  de  $G$ .

**Saída:** Matriz de adjacência  $T^{(n)}$  de  $G^*$ .

---

### Algoritmo 10: TRANSITIVE-CLOSURE( $A, n$ )

---

```

1  $T^{(0)} \leftarrow A + I_n$ 
2 para  $k \leftarrow 1$  até  $n$ 
3   para  $i \leftarrow 1$  até  $n$ 
4     para  $j \leftarrow 1$  até  $n$ 
5        $t_{ij}^{(k)} \leftarrow t_{ij}^{(k-1)} \vee (t_{ik}^{(k-1)} + t_{kj}^{(k-1)})$ 
6 devolva  $T^{(n)}$ 

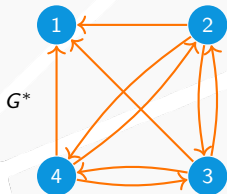
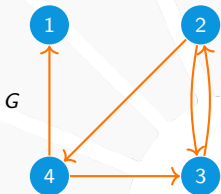
```

---

Complexidade:  $O(V^3)$ .



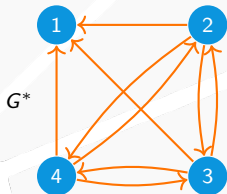
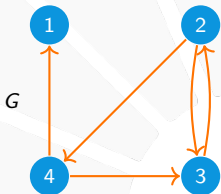
## Exemplo



$$T^{(0)} = \begin{pmatrix} 1 & 0 & 0 & 0 \\ 0 & 1 & 1 & 1 \\ 0 & 1 & 1 & 0 \\ 1 & 0 & 1 & 1 \end{pmatrix}$$



## Exemplo

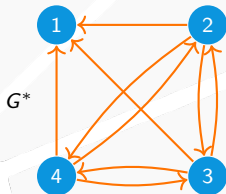
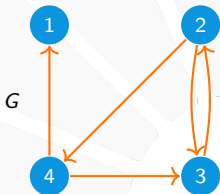


$$T^{(0)} = \begin{pmatrix} 1 & 0 & 0 & 0 \\ 0 & 1 & 1 & 1 \\ 0 & 1 & 1 & 0 \\ 1 & 0 & 1 & 1 \end{pmatrix}$$

$$T^{(1)} = \begin{pmatrix} 1 & 0 & 0 & 0 \\ 0 & 1 & 1 & 1 \\ 0 & 1 & 1 & 0 \\ 1 & 0 & 1 & 1 \end{pmatrix}$$



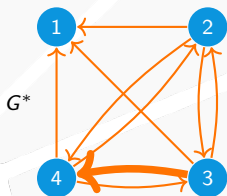
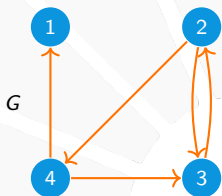
## Exemplo



$$T^{(1)} = \begin{pmatrix} 1 & 0 & 0 & 0 \\ 0 & 1 & 1 & 1 \\ 0 & 1 & 1 & 0 \\ 1 & 0 & 1 & 1 \end{pmatrix}$$



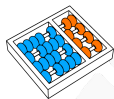
Exemplo



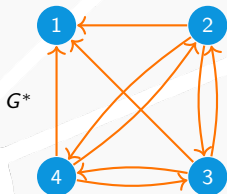
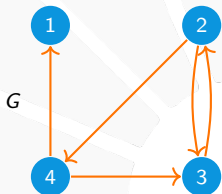
$$T^{(1)} = \begin{pmatrix} 1 & 0 & 0 & 0 \\ 0 & 1 & 1 & 1 \\ 0 & 1 & 1 & 0 \\ 1 & 0 & 1 & 1 \end{pmatrix}$$

$$T^{(2)} = \begin{pmatrix} 1 & 0 & 0 & 0 \\ 0 & 1 & 1 & 1 \\ 0 & 1 & 1 & \mathbf{1} \\ 1 & 0 & 1 & 1 \end{pmatrix}$$

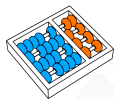




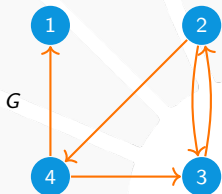
# Exemplo



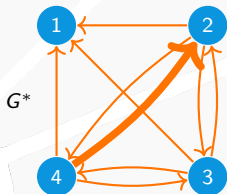
$$T^{(2)} = \begin{pmatrix} 1 & 0 & 0 & 0 \\ 0 & 1 & 1 & 1 \\ 0 & 1 & 1 & 1 \\ 1 & 0 & 1 & 1 \end{pmatrix}$$



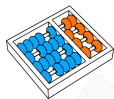
Exemplo



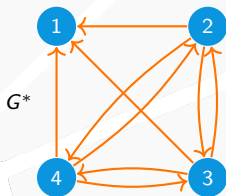
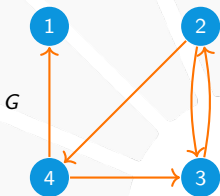
$$T^{(2)} = \begin{pmatrix} 1 & 0 & 0 & 0 \\ 0 & 1 & 1 & 1 \\ 0 & 1 & 1 & 1 \\ 1 & 0 & 1 & 1 \end{pmatrix}$$



$$T^{(3)} = \begin{pmatrix} 1 & 0 & 0 & 0 \\ 0 & 1 & 1 & 1 \\ 0 & 1 & 1 & 1 \\ 1 & \mathbf{1} & 1 & 1 \end{pmatrix}$$



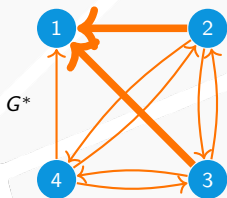
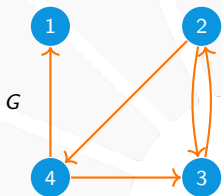
## Exemplo



$$T^{(3)} = \begin{pmatrix} 1 & 0 & 0 & 0 \\ 0 & 1 & 1 & 1 \\ 0 & 1 & 1 & 1 \\ 1 & 1 & 1 & 1 \end{pmatrix}$$



Exemplo



$$T^{(3)} = \begin{pmatrix} 1 & 0 & 0 & 0 \\ 0 & 1 & 1 & 1 \\ 0 & 1 & 1 & 1 \\ 1 & 1 & 1 & 1 \end{pmatrix}$$

$$T^{(4)} = \begin{pmatrix} 1 & 0 & 0 & 0 \\ \mathbf{1} & 1 & 1 & 1 \\ \mathbf{1} & 1 & 1 & 1 \\ 1 & 1 & 1 & 1 \end{pmatrix}$$

# CAMINHOS MÍNIMOS

MC558 - Projeto e Análise de Algoritmos II

Santiago Valdés Ravelo  
<https://ic.unicamp.br/~santiago/ravelo@unicamp.br>

01/24

7



UNICAMP

